

ارزیابی برش و زاویه‌ی دریفت دیوارهای برشی فولادی تقویت شده با اتصال صلب تحت تحلیل دینامیکی غیرخطی در حوزه‌های دور و نزدیک گسل

مجید قلهکی^{*} (دانشجو)

مهدي نصيري (كارشناس ارشد)

دانشکده هندسي عمران، دانشگاه سمنان

مطالعات انجام شده بر روی تخریب‌ها و آثار زلزله‌ها، تقاضت اثرات زلزله‌ها در حوزه‌ی نزدیک گسل و در خارج از این محدوده را نشان می‌دهد. اهمیت مطالعه‌ی حوزه‌ی نزدیک گسل زمانی بیشتر می‌شود که ضوابط و طیف طرح لرزه‌ی در آئین نامه‌های طرح لرزه‌ی نظیر استاندارد ۲۸۰° زلزله‌ی ایران براساس فرایندهای اختلالی و دوره‌های زمانی طولانی مدت به دست آمده و فقط حرکات در حوزه‌ی دور را توصیف می‌کنند. بدین منظور ۳ مدل اجزاء محدود دیوار برشی فولادی تقویت شده با اتصال صلب، ۷، ۱۵ و ۱۵ طبقه با ۵ دهانه، تحت تحلیل دینامیکی غیرخطی تاریخچه‌ی زمانی قرار گرفته و نتایج نشان داده است که ضوابط استاندارد ۲۸۰° زلزله‌ی ایران پاسخ‌گوی نیازهای سازه در حوزه‌ی نزدیک نیست. پاسخ‌های سازه شامل برش و زاویه‌ی دریفت، در حوزه‌ی نزدیک بیشتر از حوزه‌ی دور است و با افزایش ارتفاع، اثرات حوزه‌ی نزدیک بیشتر می‌شود.

واژگان کلیدی: دیوار برشی فولادی تقویت شده، حوزه‌ی نزدیک گسل، تحلیل دینامیکی غیرخطی.

mgholhaki@semnan.ac.ir
mahdi.nasiri@students.semnan.ac.ir

۱. مقدمه

دیوار برشی فولادی^۱ به عنوان سیستم مقاوم جانی در ساختمان‌ها، به ویژه در ساختمان‌های بلندمرتبه در ۴ دهه‌ی اخیر مطرح شده و مورد توجه قرار گرفته است. مزایای قابل ملاحظه‌ی سیستم مذکور، استفاده از این پدیده‌ی نوین را به سرعت گسترش داده است.

برای بهبود منحنی‌های هیسترزیس و افزایش میزان جذب انرژی در دیوارهای برشی فولادی از سخت‌کننده استفاده می‌شود.

مطالعات روی زلزله‌های بزرگ اخیر نشان داده است که زلزله‌های حوزه‌ی نزدیک گسل، ویرگی‌هایی دارند که آنها را از حوزه‌ی دور از گسل متفاوت می‌سازد.

از ویرگی‌های حرکات زمین در این ناحیه می‌توان به یک پالس با انرژی زیاد در ابتدای نگاشت اشاره کرد. این پالس‌ها با دامنه‌ی زیاد و دوره‌ی تناوب بلند، انرژی قابل توجهی را در مدت زمان کوتاهی به سازه اعمال و سازه را وادار به اتفاق این حجم انرژی در تعداد محدودی چرخه‌ی خمیری می‌کنند.

اعمال این انرژی در مدت زمان کوتاه به سازه، احتمال شکست ترد را در سازه‌های با اتصالات ضعیف افزایش می‌دهد.

۲. برخی از مطالعات انجام شده بر روی دیوارهای برشی فولادی تقویت شده و زلزله‌های نزدیک گسل

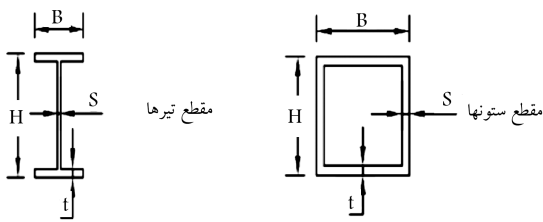
در سال ۲۰۰۶، تأثیر ویرگی‌های حوزه‌ی نزدیک در قابهای خمشی فولادی بررسی شده و سه ساختمان واقعی، ۶، ۱۳ و ۱۳ طبقه با هدف ارزیابی پاسخ سازه‌های موجود به حرکات نزدیک گسل به کار گرفته شد.^[۱] موج سینوسی شکل به عنوان ورودی لرزه‌ی به سازه‌ها اعمال شد. مطالعه‌ی پالس‌های ساده، تغییر نیازهای سازه وقتی نسبت دوره‌ی تناوب پالس به دوره‌ی تناوب سازه کمتر از ۸٪ باشد، را نشان داده است.

در زمینه‌ی محاسبه‌ی زمان تناوب ارتعاش طبیعی دیگر سیستم‌های مقاوم جانبی، مطالعات زیادی صورت گرفته است، لکن در زمینه‌ی دیوارهای برشی فولادی تحقیقات اندک است. در پژوهش دیگری در سال ۲۰۰۸^[۲]، مطالعاتی بر روی زمان تناوب ارتعاش طبیعی این سیستم انجام و روابط ریاضی برای محاسبه‌ی آنها ارائه شده است.

برخی پژوهشگران نیز در پژوهشی در سال ۲۰۰۹^[۳] ضریب رفتار و جذب انرژی دیوارهای برشی فولادی شکل پذیر با سخت‌کننده و بدون سخت‌کننده را در کار آزمایشگاهی مورد بررسی قرار داده‌اند. نتایج آنها نشان داده است که ضریب رفتار

* نویسنده مسئول

تاریخ: دریافت ۱۳۹۳/۵/۱، اصلاحیه ۱۱/۱۱/۱۸، پذیرش ۱۳۹۳/۱۱/۲۸.



شکل ۱. جزئیات مقاطع ستونها و تیرها.

۴. طراحی دیوار برشی فولادی با ورق نازک به روش نواری

آینین‌نامه‌های فولاد کانادا (S ۱۶-۰۱) [۱] و فولاد امریکا (AISC ۲۰۱۰) [۲] دیوار برشی فولادی را به عنوان یک سیستم باربر جانبی پذیرفته‌اند. در آینین‌نامه‌های ذکر شده، به‌منظور طراحی دیوارهای برشی فولادی با ورق نازک، ابتدا طراحی اولیه مقاطع تیر، ستون، و ورق دیوارها مشابه یک خرپای قائم با مهاربندهای فقط کششی انجام می‌شود.

برای اساس به جای هر ورق فولادی، یک بادبند معادل در نظر گرفته می‌شود.

پس از تعیین سطح مقاطع هر مهاربند (براساس روابط انرژی کنشسان)، ضخامت ورق فولادی (t) از رابطه ۱ محاسبه می‌شود:

$$t = \frac{2 A_b \sin \theta \sin 2\theta}{L \sin^2 2\alpha} \quad (1)$$

که در آن، θ زاویه‌ی بین مهاربند و ستون، L عرض دهانه‌ی قاب، A_b سطح مقاطع مهاربند و α زاویه‌ی تشکیل میدان کشش قطری در ورق فولادی است، که از رابطه ۲ به دست می‌آید:

$$\tan^2 \alpha = \frac{1 + \frac{t \cdot L}{r A_c}}{1 + t \cdot h_s \left(\frac{1}{A_b} + \frac{h_s^2}{2 \pi I_c \cdot L} \right)} \quad (2)$$

که در آن، A_c و I_c به ترتیب سطح مقاطع و ممان اینرسی ستون کناری، ارتفاع h_s طبقه و A_b سطح مقاطع تیر است. پس از تعیین ضخامت، هر ورق به تعدادی نوار مورب تبدیل می‌شود که سطح مقاطع هر نوار از رابطه ۳ به دست می‌آید:

$$A_s = \frac{L \cos \alpha + h \sin \alpha}{n} \times t \quad (3)$$

که در آن، n تعداد نوارهاست. مطالعات متعددی در زمینه‌ی تعیین تعداد نوار نیاز انجام شده است، که نتایج آن نشان‌دهنده‌ی کفايت ۱۰ عدد نوار مورب برای تجزیه و تحلیل یک دیوار برشی فولادی با ورق نازک است.

با توجه به اینکه ستون‌ها ممکن است تحت تأثیر میدان کشش قطری دچار کمانش شوند، لذا سختی ستون‌های کناری باید از رابطه ۴ تبعیت کند:

$$I_c \geq \frac{0.100 \cdot 30 \cdot 7t \cdot h_s^2}{L} \quad (4)$$

همچنین به منظور جلوگیری از خمش تیر فوقانی دیوار برشی فولادی ناشی از اثر میدان کششی قطری نامتنازن، باید رابطه ۵ کترل شود:

$$M_{fppb} \geq \frac{\sigma_{ty} \cdot t \cdot L^2}{8} \sin^2 \alpha \quad (5)$$

که در آن، M_{fppb} لنگر خمیری مقاطع تیر و σ_{ty} تنش نهایی میدان کشش قطری است، که برای ورق‌های نازک فولادی تقریباً برابر تنش تسلیم آن است. با توجه به

دیوار برشی فولادی بدون سخت‌کننده و با سخت‌کننده به ترتیب برابر ۱۱/۵ و ۱۲/۲ است. مقدار این ضربی در نمونه‌ی بدون سخت‌کننده ۶٪ کمتر است. همچنین جذب انرژی دیوار برشی فولادی بدون سخت‌کننده در تعییرمکان‌های مختلف در حدود ۲۰ تا ۳۶ درصد کمتر از دیوار برشی فولادی با سخت‌کننده بوده و در دیوار برشی فولادی با سخت‌کننده و بدون سخت‌کننده، سهم جذب انرژی قاب از کل نمونه به ترتیب ۵۰ و ۶۷ درصد بوده است.

در سال ۲۰۱۲ نیز تأثیر جهت‌پذیری پیش‌روندۀ ۲ در طیف طراحی ارائه شده با آینین‌نامه‌های طرح لرزه‌بی در فواصل مختلف نزدیک به گسل با تحلیل ۱۶۲ نگاشت زلزله بررسی شده و مطالعات نشان داده است که جهت‌پذیری پیش‌روندۀ اثر زیادی در طیف پاسخ طراحی در حوزه‌ی نزدیک گسل دارد و سبب افزایش ۲ برابری بخش دوره‌ی تناوب بالاتر (T) نسبت به طیف پاسخ بدون اثر فوق شده است. [۳] نگاشت‌های حوزه‌ی دور از گسل سبب افزایش بخش دوره‌ی تناوب کوتاه طیف پاسخ شده است ($T < 1s$)، و نگاشت‌های حوزه‌ی نزدیک، اثر جهت‌پذیری پیش‌روندۀ موجب افزایش بخش دوره‌ی تناوب بالاتر طیف پاسخ شده است. از این رو در نواحی نزدیک گسل اگر طیف ویژه‌ی طرح حوزه‌ی نزدیک مورد استفاده قرار گیرد، توجه به اثرات حرکات شدید حوزه‌ی دور برای سازه‌ی طرح شده به همان اندازه اهمیت دارد.

در سال ۲۰۱۵ نیز برخی پژوهشگران [۴] به بررسی ساختمان‌های قرارگرفته در معرض حرکات حوزه‌ی نزدیک براساس تعیین طیف دریفت آنها پرداخته و نتایج آنها نشان داده است که بیشینه‌ی دریفت طبقات، هم‌زمان با افزایش نسبت سختی جانبی از نیمه‌ی بالایی به نیمه‌ی پایینی سازه متنقل می‌شود. مطالعات آنها در ساختمان‌های با سیستم مقاوم قاب مانگیر نشان داده است که حرکات حوزه‌ی نزدیک با اثر جهت‌پذیری پیش‌روندۀ مودهای بالاتر سازه را تحریک می‌کند، در حالی که حرکات این حوزه با اثر تعییرمکان‌های ماندگار، مودهای پایه‌ی سازه را تحریک می‌کند.

۳. فرضیات تحلیل و مدل‌های سازه‌ی

در این نوشتار برای بررسی اثرات زلزله‌های حوزه‌های نزدیک و دور از گسل و مقایسه‌ی آنها، از ۳ مدل دیوار برشی فولادی دو بعدی با فرض اتصالات صلب تیر و ستون و ارتفاع متغیر، که بخشی از یک سازه‌ی سه بعدی منظم در پلان و ارتفاع بوده‌اند، استفاده شده است. مدل‌های سازه‌ی شامل مدل‌های ۳، ۷ و ۱۵ طبقه بوده است، که براساس مبحث ششم مقررات ملی ساختمان، [۵] با فرض زمین تیپ III، نسبت شتاب برابساز استاندارد ۲۸۰۰ زلزله‌ی ایران [۶] با فرض زمین تیپ III، نسبت شتاب مبنی‌آن طرح ۰/۳۵، تحت بارگذاری جانبی قرار گرفته‌اند. مدل‌های مورد بررسی با نرم‌افزار ۵/۱۰ ETABS v۹/۵ تحلیل و اجزاء مدل‌ها براساس آینین‌نامه‌ی AISC-ASD طراحی و توسط مبحث دهم مقررات ملی ساختمان (طیف و اجرای ساختمان‌های فولادی)، [۷] کترل شده‌اند. مصالح فرض شده برای مدل سازی و تحلیل، فولاد ST۳۷ و بوده است، که تنش تسلیم $F_y = 240 \text{ kg/cm}^2$ ، ضربی پواسون $v = 0.3$ و مدول کشسانی $E = 10^6 \text{ kg/cm}^2$ داشته و ارتفاع طبقات در تمام مدل‌ها یکسان و برابر $3/2$ مترو قاب‌ها در تمام مدل‌های سازه‌ی، ۵ دهانه به طول ۵ متر بوده‌اند. کاربری سازه‌ها به صورت مسکونی و سیستم بارگذاری دال مرکب با بار 50 kg/m^2 فرض شده است. بار زنده‌ی طبقات 200 kg/m^2 و بار زنده‌ی بام 150 kg/m^2 در نظر گرفته شده است. شکل ۱ و جدول ۱، ابعاد هندسی مقاطع طراحی شده در مدل‌ها را نشان می‌دهند.

جدول ۱. ابعاد مقطع تیر و ستون‌ها.

B (cm)	t (cm)	H (cm)	S (cm)	قطعه	علامت اختصاری	B (cm)	t (cm)	H (cm)	S (cm)	قطعه	علامت اختصاری
۲۵	۱,۵	۲۵	۱,۵	ستون	C۶	۱۵	۱,۵	۳۰	۰,۸	تیر	B۲
۲۵	۲,۵	۲۵	۲,۵	ستون	C۸	۲۰	۱,۵	۳۰	۰,۸	تیر	B۳
۳۰	۲,۵	۳۰	۲,۵	ستون	C۱۱	۲۰	۲	۳۰	۰,۸	تیر	B۴
۳۰	۳	۳۰	۳	ستون	C۱۲	۲۰	۲	۳۵	۱	تیر	B۵
۳۵	۲,۵	۳۵	۲,۵	ستون	C۱۵	۲۵	۲	۳۵	۱	تیر	B۶
۳۵	۳	۳۵	۳	ستون	C۱۶	۲۵	۲	۴۰	۱	تیر	B۷
۴۰	۳,۵	۴۰	۳,۵	ستون	C۲۱	۲۵	۲	۴۵	۱	تیر	B۸
۴۵	۳,۵	۴۵	۳,۵	ستون	C۲۶	۲۰	۲	۲۰	۲	ستون	C۴
۵۰	۴	۵۰	۴	ستون	C۳۰	۲۵	۱,۲	۲۵	۱,۲	ستون	C۵

رابطه‌ی ۸ پیشنهاد شده است:

$$t_s \geq t \quad (8)$$

که در آن، t_s ضخامت تیغه‌ی سخت‌کننده است.

مطابق پیشنهاد تاکاهاشی و همکاران،^[۱] ممان اینرسی سخت‌کننده‌ها (I_{Ss}) در دو حالت تقویت یک یا دو طرفه باید از روابط ۹ و ۱۰ تعییت کند. در عین حال توصیه می‌شود که ضوابط ارائه شده در رابطه با سخت‌کننده‌ها در تیورق نیز در زمان طراحی مدنظر قرار گیرد. در جدول‌های ۲ الی ۴، ابعاد سخت‌کننده‌ها براساس ضخامت به دست آمده‌ی ورق‌های مدل‌های مختلف ذکر شده است.

$$I_s \geq 600t^3 \quad \text{تقویت در دو طرف ورق فولادی} \quad (9)$$

$$I_s \geq 500t^3 \quad \text{تقویت در یک طرف ورق فولادی} \quad (10)$$

جدول ۲. مشخصات ورق‌های تقویت شده در مدل ۳ طبقه.

قطعه سخت‌کننده (cm)	ضخامت سخت‌کننده		
	طبقه	ورق	سخت‌کننده
قائم	افقی	(mm)	
۳ × ۴۰	۱۰۰ × ۳	۲,۵	۱,۴ ۳
۳ × ۴۰	۱۰۰ × ۳	۲,۵	۱,۴ ۲
۳ × ۴۰	۱۰۰ × ۳	۲,۵	۱,۴ ۱

جدول ۳. مشخصات ورق‌های تقویت شده در مدل ۷ طبقه.

قطعه سخت‌کننده (cm)	ضخامت سخت‌کننده		
	طبقه	ورق	سخت‌کننده
قائم	افقی	(mm)	
۳ × ۳۵	۱۰۰ × ۳	۳	۱,۶ ۷
۳ × ۴۰	۱۰۰ × ۳	۳	۱,۶ ۶
۴ × ۴۰	۱۰۰ × ۴	۴	۲,۳ ۵
۴ × ۴۰	۱۰۰ × ۴	۴	۲,۳ ۴
۵ × ۴۰	۱۰۰ × ۵	۴	۲,۶ ۳
۵ × ۴۰	۱۰۰ × ۵	۴	۲,۶ ۲
۵ × ۴۰	۱۰۰ × ۵	۴	۲,۶ ۱

تفاوت اندک شدت میدان کشش قطری بین دو طبقه‌ی مجاور کنترل رابطه‌ی فقط برای تیر انتهایی الزامی است، اما اگر تفاوت میدان کشش قطری بین دو طبقه‌ی مجاور زیاد باشد، رابطه‌ی مذکور برای تیرهای میانی نیز باید کنترل شود. به منظور حصول اطمینان از اینکه ستون‌های محیطی بتوانند تنش‌های وارد ناشی از بارهای ثقلی به همراه تنش‌های ناشی از اثر میدان کششی را تحمل کنند، لازم است که این شرط (رابطه‌ی ۶) برای ستون‌ها نیز رعایت شود:

$$M_{fpc} \geq \frac{\sigma_{ty} \cdot t \cdot h^2}{4} \cos^2 \alpha \quad (6)$$

که در آن، M_{fpc} لنگر خمیری مقطع ستون است. در زمان کنترل رابطه‌ی ۶، باید بار محوری ستون‌ها نیز در نظر گرفته شود.

۵. طراحی سخت‌کننده‌ها

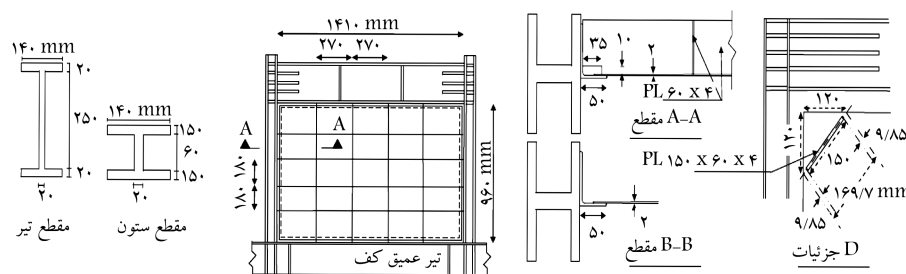
در طراحی ابعاد و فاصله‌ی سخت‌کننده‌ها باید فرض ایجاد کمانش در هر یک از زیرصفحه‌ها و جلوگیری از کمانش کلی دیوار در نظر گرفته شود. برای اساس، برای کنترل کمانش زیرصفحات از رابطه‌ی ۷ استفاده و ابعاد زیرصفحه به گونه‌ی تعیین می‌شود که تنش برشی بحرانی حد کمانش (τ_{cr}) برابر تنش برشی حد جاری شدن ورق فولادی (τ_{wy}) شود. با توجه به کمانش غیرکشسان باسلر و فرض تنش برشی حد خطی مساوی $0,8\tau_{wy}$ ، رابطه‌ی ۷ زیرصفحه‌ها را مشخص می‌کند:

$$\tau_{cr} = \sqrt{\left(0,8\tau_{wy}\right) \frac{K\pi^4 E}{12(1-\nu^2)} \left(\frac{t}{b}\right)^4} \leq \frac{\sigma_e}{\sqrt{3}} \quad (7)$$

$$K = 5,35 + 4 \left(\frac{b}{d}\right)^4 \quad \frac{b}{d} \geq 1$$

$$K = 5,35 \left(\frac{b}{d}\right)^4 + 4 \quad \frac{b}{d} \leq 1 \quad (7)$$

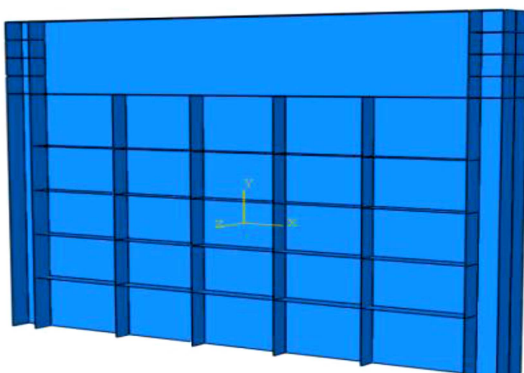
که در آن، τ_{cr} تنش برشی بحرانی حد کمانش زیرصفحات و τ_{wy} تنش تسلیم برشی است، که طبق معیار فون میسز برابر $s_{cr}/3$ است، s_e نیز تنش تسلیم یک محوری ورق نارک است. همچنین E مدول کشسانی، ν ضریب پواسون، t ضخامت ورق، b عرض ورق، و d ارتفاع ورق تقویت شده است. در رابطه با سخت‌کننده‌ها برای جلوگیری از تغییر شکل آنها و در نتیجه برای جلوگیری از کمانش کلی ورق و ادارکردن آن به کمانش موضعی در زیرصفحات،



شکل ۲. مشخصات نمونه‌ی آزمایشگاهی دیوار پرشی فولادی تقویت شده صبوری و سجادی.^[۴]

۷. صحبت‌سننجی و مدل‌سازی نمونه‌ی آزمایشگاهی در نرم افزار

با توجه به اینکه طول یک بعد پانل سخت‌کننده‌ها در مقایسه با دو بعد دیگر کوچک‌تر است، برای مدل‌سازی آنها از المان Shell نرم افزار آباکوس استفاده شده است. همچنین برای کاهش تعداد المان‌ها و مدت زمان تجزیه و تحلیل، برای مدل‌سازی تیر و ستون‌ها نیز از المان Shell استفاده شده است. در مدل‌سازی، مدل کشسانی ۲/۱ گیگاپاسکال و ضربی پواسون $0/3$ در نظر گرفته شده است. شکل ۳، تصویر مدل آزمایشگاهی و مدل اجزاء محدود را نشان می‌دهد. مطابق شرایط آزمایشگاهی، بار جانبی طبق پرونکل بارگذاری ATC۲۴، بر روی تیر فوقانی نمونه اعمال شده است. برای ایجاد و شروع کمانش در مدل‌سازی نرم افزاری، جایه‌جایی عمود برزیر صفحات به اندازه‌ی ۲ میلی‌متر بر نمونه اعمال شده است. جهت تعیین ابعاد بهینه‌ی شبکه‌بندی



شکل ۳. تصویر نمونه‌ی آزمایشگاهی و مدل اجزاء محدود.^[۴]

جدول ۴. مشخصات ورق‌های تقویت شده در مدل ۱۵ طبقه.

طبقه	ورق سخت‌کننده (mm)	قطع سخت‌کننده (cm)	اقفه قائم
۱/۴	۳	100×4	4×40
۱/۴	۳	100×4	4×40
۲	۳	100×4	4×40
۱/۲	۲	100×6	6×40
۱/۱	۲/۶	100×6	6×40
۱/۰	۲/۶	100×6	6×40
۹	۲/۶	100×6	6×40
۸	۳	100×6	6×40
۷	۳	100×6	6×40
۶	۳	100×6	6×40
۵	۳/۴	100×6	6×40
۴	۳/۴	100×6	6×40
۳	۴	100×7	7×40
۲	۴	100×7	7×40
۱	۴	100×7	7×40

جدول ۵. مشخصات مکانیکی نمونه‌ی آزمایشگاهی صبوری و سجادی.^[۴]

اعضا	تنشی جاری شدن (Mpa)	تنشی جاری شدن (Mpa)	تنشی نهایی (Mpa)
ستون	۴۱۴/۸	۵۵۱/۷	۲۸۸/۷
ورق	۱۹۲/۴	۲۸۸/۷	۳۷۰
سخت‌کننده	۲۴۰	۲۴۰	۳۷۰

۶. صحبت‌سننجی و ساخت مدل‌های اجزاء محدود

برای صحبت‌سننجی مدل‌سازی، از مدل آزمایشگاهی صبوری و سجادی،^[۴] استفاده شده است. مشخصات نمونه و پارامترهای مکانیکی آن در شکل ۲ و جدول ۲ ارائه شده است.

در مدل آزمایشگاهی، ابعاد سخت‌کننده‌ها به گونه‌ی طراحی شده‌اند که ورق پیش از کمانش دچار تسليم پرشی شود و پس از آن، کمانش خميری در زير ورق را رخ دهد. لذا از سخت‌کننده‌های به ضخامت ۴ میلی‌متر و عرض ۶ سانتی‌متر در یک طرف ورق استفاده شده است.

جدول ۶. زلزله‌های مورد استفاده در تحلیل‌ها.

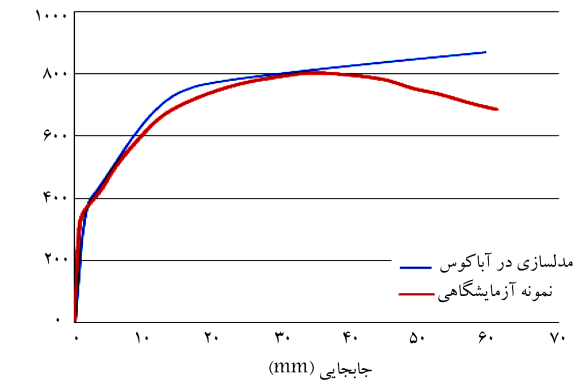
حوزه‌ی نزدیک گسل					
(Km)	فاصله	ایستگاه	سال	محل وقوع	نوع حرکت
۱	۹۴۲EICentro Array #6		۱۹۷۹	Imperial Valley, USA	F.D
۶,۱	۷۵ Sylmar – Convertor		۱۹۹۴	Northridge, USA	F.S
۰,۳	Takatori		۱۹۹۵	Kobe, Japan	F.D
۱۱,۱۴	CHY ۱۰۱		۱۹۹۹	Chi-Chi, Taiwan	F.D

حوزه‌ی دور از گسل					
(Km)	فاصله	ایستگاه	سال	محل وقوع	
۴۳,۶	۶۶۰ ۵ Delta		۱۹۷۹	Imperial Valley, USA	
۵۴,۳	۲۴۲۸۱ Port Hueneme		۱۹۹۴	Northridge, USA	
۹۴,۲	◦ HIK		۱۹۹۵	Kobe, Japan	
۹۰,۲۳	CHY ۰۶۵		۱۹۹۹	Chi-Chi, Taiwan	

جدول ۷. دوره‌ی تناوب اصلی مدل‌های تحلیل شده.

SPSW-۱۵	SPSW-۷	SPSW-۳	مدل
دوره‌ی تناوب (sec)	دوره‌ی تناوب (sec)	دوره‌ی تناوب (sec)	دوره‌ی تناوب (sec)
۱,۰ ۲۰ ۲	۰,۶۲۳۱	۰,۲۹۸۹	

آمده و پس از ترکیب کردن طیف‌های پاسخ هر زوج شتاب‌نگاشت با روش میانگین مجذور مرربعات (SRSS)، از آنها متوسط‌گیری شده و در محدوده‌ی زمان‌های تناوب $۰,۲\text{--}۱,۵\text{T}$ با طیف طرح استاندارد مقایسه شده است. جدول ۷، دوره‌ی تناوب اصلی مدل‌های تحلیل شده در این پژوهش با استفاده از نرم‌افزار آباکوس را نشان می‌دهد.



شکل ۴. صحبت‌سنجی مدل‌سازی در نرم‌افزار با نمونه‌ی آزمایشگاهی.

۹. ارزیابی لرزه‌ی دیوارهای برشی فولادی تقویت شده در حوزه‌های دور و نزدیک گسل براساس تحلیل دینامیکی غیرخطی

پس از مدل‌سازی در نرم‌افزار مدل‌ها تحت نگاشتهای دور و نزدیک، مورد تحلیل دینامیکی غیرخطی تاریخچه‌ی زمانی قرار گرفته و نسبت برش طبقه به وزن تجمعی سازه و زاویه‌ی دریفت طبقات در آنها مورد بررسی قرار گرفته است.

۱۰. نسبت برش طبقه به وزن تجمعی سازه در دیوارهای برشی فولادی تقویت شده

شکل ۵، نمودار نسبت بیشینه‌ی برش طبقه به وزن تجمعی سازه ناشی از تحلیل دینامیکی غیرخطی برای ۴ شتاب‌نگاشت دور و نزدیک گسل در برابر درصد ارتفاع سازه در مدل‌های ۳, ۷, ۱۵ و ۲۷ طبقه را نشان می‌دهد.

همان‌طورکه مشاهده می‌شود، در مدل ۳ طبقه نسبت برش طبقه به وزن مؤثر سازه با شبیهی ثابت افزایش نیافته است، که بیان‌گر توزیع متفاوت برش طبقات در دیوارهای برشی فولادی تقویت شده با این ارتفاع است. همان‌گونه که مشاهده می‌شود، جذب برش در حوزه‌ی دور از گسل در طبقات فوقانی بیشتر است. در ۴۰٪ ارتفاع، این نسبت در حوزه‌های دور و نزدیک گسل برابر شده است.

با افزایش ارتفاع در تمامی زلزله‌ها، اختلاف میان بیشینه‌ی برش در حوزه‌های

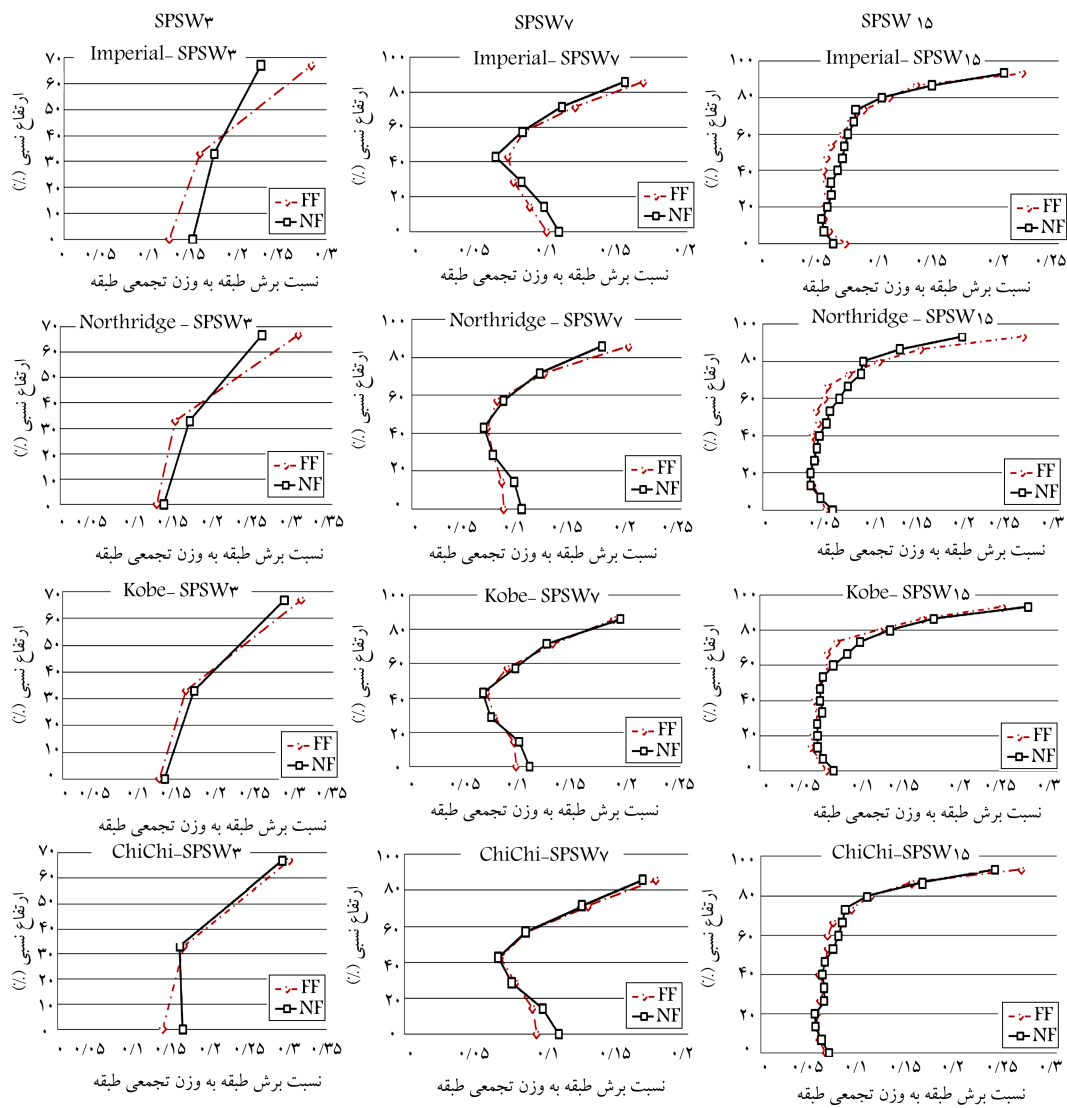
از مش‌های با ابعاد ۵, ۷, ۱۰ و ۱۵ سانتی‌متر استفاده و درنهایت، از مش با ابعاد ۱۰ سانتی‌متر به جهت مدل‌سازی مناسب رفتار استفاده شده است. شکل ۴، انطباق قابل قبول مدل اجزاء محدود و نمونه‌ی آزمایشگاهی را نشان می‌دهد. استفاده از مش ۱۰ سانتی‌متر به جهت کاهش زمان تحلیل‌ها و افزایش دقت نتایج بوده است.

۸. شتاب‌نگاشتهای مورد استفاده

زلزله‌های حوزه‌ی نزدیک گسل زلزله‌ای هستند که در رکورد سرعت و جابه‌جاوی آنها، پالس‌های شدید و سریع مشاهده می‌شود و معمولاً نسبت PGV/PGA بالای دارند. از این رواز میان ۱۰ رکورد حوزه‌ی دور و نزدیک، [۵] ۴ نگاشت براساس اینکه کدام پک بیشینه‌ی PGV/PGA دارند و در نگاشت سرعت آنها، ۱ یا چند پالس ویژه با دامنه‌ی زیاد و دوره‌ی تناوب متوسط تا بلند وجود دارد، مطابق جدول ۶ انتخاب شده‌اند.

براساس نوع زلزله مربوط به شتاب‌نگاشت نزدیک گسل، شتاب‌نگاشت دور از گسل نیز انتخاب و برای بارگذاری قاب‌ها استفاده شده است. همه‌ی نگاشتهای براساس استاندارد ۲۸۰۰ مقیاس شده‌اند.

جهت همپایکردن شتاب‌نگاشتهای ابتدا زوج شتاب‌نگاشتهای از طریق نرم‌افزار SeismoSignal به بیشینه‌ی مقدار خود مقیاس شده‌اند. طیف پاسخ شتاب هریک از زوج شتاب‌نگاشتهای افقی مقیاس شده با منظور کردن نسبت میرایی ۵٪ به دست



شکل ۵. نسبت پیشینه‌ی برش طبقه به وزن تجمیعی سازه برای مدل‌های ۳، ۷ و ۱۵ طبقه.

در مابقی زلزله‌ها با افزایش ارتفاع مدل، میران برش در حوزه‌ی دور افزایش یافته و می‌توان گفت از ۵۰٪ ارتفاع به بعد، برش در حوزه‌ی دور حاکم است. در زلزله‌های کوبه و نورث ریچ تا ۳۵٪ ارتفاع، نسبت برش حوزه‌ی نزدیک به دور از گسل افزایش یافته و سپس روند کاهشی آغاز شده است، تا جایی که از حدود ۴۵٪ ارتفاع به بعد، برش در حوزه‌ی دور مقادیر بیشتری کسب کرده است. این کاهش در جذب انرژی در زلزله‌ی کوبه به جهت اثر جهت‌پذیری پیش‌روندۀی شدیدتر این زلزله نسبت به سایر زلزله‌های دارای اثر مذکور است. در زلزله‌ی نورث ریچ به جهت اثر تغییر مکان‌های ماندگار، مودهای ابتدایی سازه تحریک شده و اجازه‌ی جذب انرژی را در پای سازه نداده است.

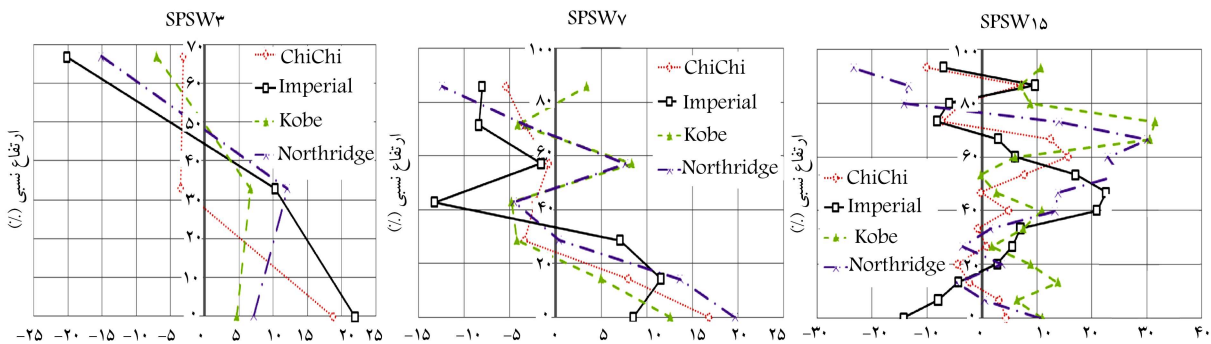
مطابق با نمودارهای شکل ۵، در مدل ۷ طبقه مشاهده می‌شود که به غیر از زلزله‌ی کوبه، برش طبقه‌ی آخر در حوزه‌ی دور بیشتر از حوزه‌ی نزدیک گسل بوده و این رفتار در مدل ۳ طبقه نیز مشاهده شده است. مطابق شکل مذکور، از حدود ۳۰٪ ارتفاع به بعد شیب توزیع برش بین حوزه‌های دور و نزدیک گسل تقریباً برابر است. در این مدل تا ۴۰٪ ارتفاع با شیب یکسان در حوزه‌های دور و نزدیک کاهش جذب برش در ارتفاع سازه مشاهده و سپس

دور و نزدیک گسل کاهش یافته و در آخرین طبقه، میران برش طبقه در حوزه‌ی دور بیشتر است. مطابق نمودارها، تغییر شیب نمودار در حدود ۲۳٪ ارتفاع برای تمامی زلزله‌ها رخ داده است.

این تغییر شیب به معنای تغییر در میران جذب انرژی در مدل ۳ طبقه است. بدین صورت که از این ارتفاع به بعد افزایش جذب برش در ارتفاع نسبت به قبل از آن مشاهده می‌شود و این بدان معناست که رفتار سازه در این بازه شکل پذیرتر است. این روند با ماهیت زلزله‌های نزدیک گسل هم خواهد دارد، زیرا در این زلزله‌ها یک پالس شدید در مدت زمان کوتاهی به سازه اعمال می‌شود و اجازه‌ی استهلاک انرژی را در پای سازه نمی‌دهد.

با افزایش ارتفاع و کاهش شدت پالس، سازه فرصت جذب انرژی بالاتر و رفتار شکل پذیرتری دارد. این افزایش در زلزله‌های حوزه‌ی دور بیشتر از حوزه‌ی نزدیک گسل است. روند افزایشی نمودارها در هر دو حوزه، نشان‌دهنده‌ی افزایش جذب برش پایه به نسبت وزن در طبقات بالاتر این ارتفاع از دیوار برپی فولادی تقویت شده است.

همان‌طور که در شکل ۶ مشاهده می‌شود، به غیر از زلزله‌های کوبه و نورث ریچ،



نسبت افزایش برش در حوزه نزدیک گسل به برش در حوزه دور از گسل (%) نسبت افزایش برش در حوزه نزدیک گسل به برش در حوزه دور از گسل (%) نسبت افزایش برش در حوزه نزدیک گسل به برش در حوزه دور از گسل (%)

شکل ۶. نمودار افزایش نسبت برش بیشینه‌ی نزدیک گسل به دور از گسل در برآور درصد ارتفاع مدل.

۱۱. زاویه‌ی تغییرمکان نسبی بیشینه‌ی طبقات در دیوارهای پرشی فولادی تقویت شده

طبقات شکل ۷، در مدل ۳ طبقه به جز در زلزله‌ی چی‌چی در بقیه‌ی زلزله‌های مورد بررسی، زاویه‌ی تغییرمکان نسبی تراز بام در نگاشتهای نزدیک گسل کمتر از زاویه‌ی تغییرمکان نسبی حاصل از نگاشتهای دور از گسل است. همان‌طور که انتظار می‌رود، ضوابط استاندارد ۲۸۰۰ زلزله‌ی ایران (برای سازه‌های با دوره‌ی تناوب اصلی کمتر از ۵۰ ثانیه کمتر از ۲۵٪، ارتفاع طبقه و برای سازه‌های با دوره‌ی تناوب مساوی و بیشتر از ۷۰٪ ثانیه کمتر یا مساوی ۲٪ ارتفاع طبقه) پاسخ‌گوی نیازهای سازه نیست و بیشینه‌ی زاویه‌ی تغییرمکان نسبی در حوزه‌ی نزدیک به مراتب بیشتر از مقدار مجاز استاندارد ۲۸۰۰ زلزله‌ی ایران است. به غیر از زلزله‌ی نورث‌ریج در بقیه‌ی زلزله‌ها، مقدار زاویه‌ی تغییرمکان نسبی در حوزه‌ی دور نیز از مقدار مجاز تجاوز کرده است. دلیل این امر می‌تواند بالاترین طیف‌های حوزه‌ی دور بیشتر از حوزه‌ی نزدیک گسل است. مشابه این روند در مدل‌های ۳ و ۷ طبقه نیز مشاهده می‌شود. دلیل این امر می‌تواند اثر مودهای بالاتر در طبقات انتهایی باشد. به جز در زلزله‌ی ایمپریال، که در آن پدیده‌ی تشید رخ داده است، در مابقی زلزله‌ها برش پایه در حوزه‌ی نزدیک گسل بیش از حوزه‌ی دور بوده است. بیشینه‌ی افزایش برش طبقه‌ی حوزه‌ی نزدیک نسبت به حوزه‌ی دور در ۵۰ تا ۷۰ درصد ارتفاع رخ داده است. در ۲۰٪ ابتدايی کاهش جزئی جذب برش در پای سازه و پس از این ارتفاع به طور ميانگين افزایش در آن مشاهده می‌شود. بيشينه‌ی جذب برش در ارتفاع ۶٪ به بالاي مدل ۱۵ طبقه رخ داده است، که نشان از جذب بيشتر برش پایه نسبت به وزن مؤثر سازه در اين ارتفاع و رفتار شكل پذير سازه دارد.

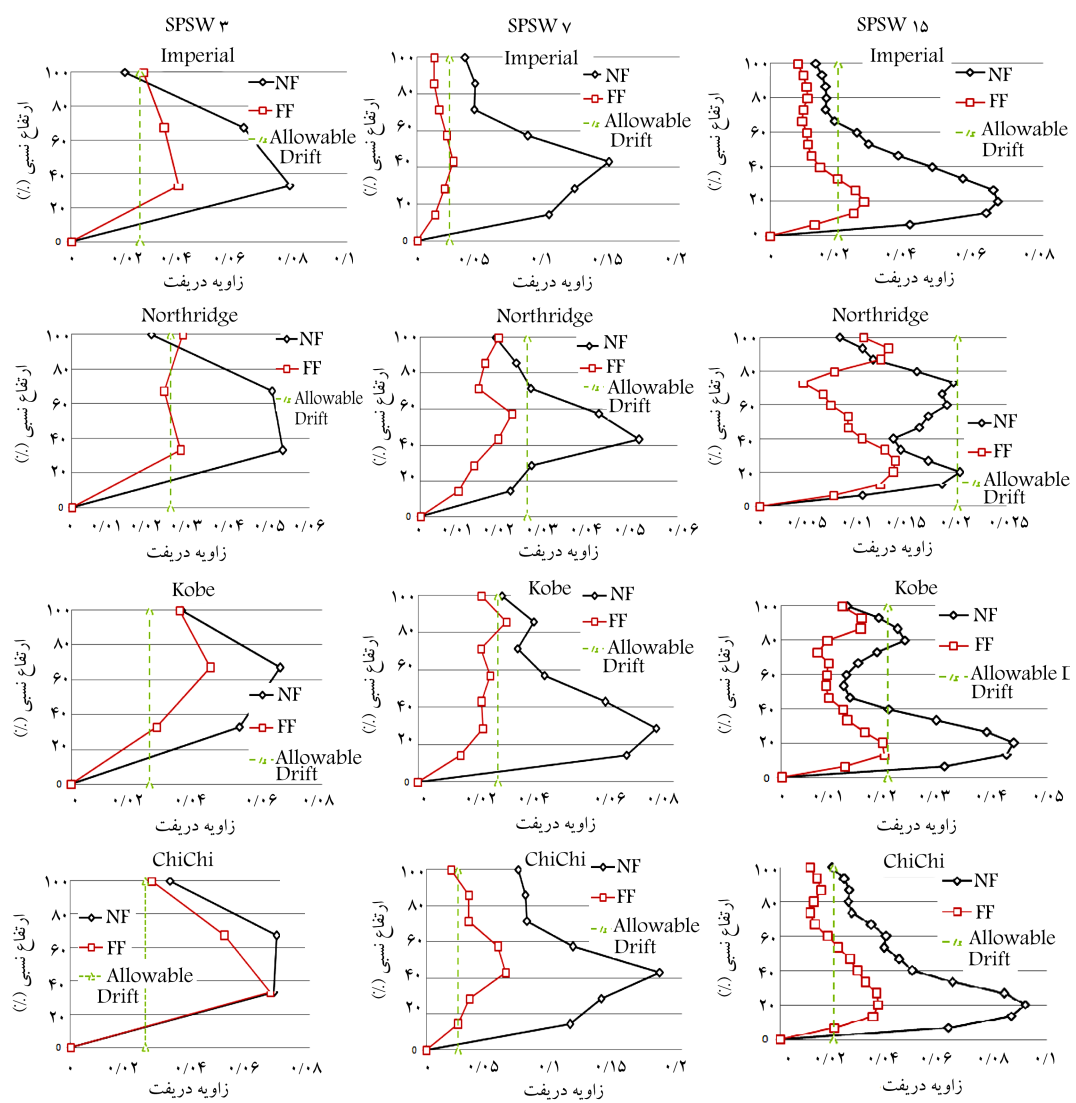
طبقات شکل ۶، به جز در ۲۰٪ ابتدايی ارتفاع مدل در زلزله‌ی ایمپریال، در بقیه‌ی ارتفاع میزان برش در حوزه‌ی نزدیک مقدار بيشتری را نسبت به حوزه‌ی دور کسب کرده است. در حالی که در مدل‌های ۳ و ۷ طبقه، برش در حوزه‌ی دور بيشتر از حوزه‌ی نزدیک رخ داده است. نمودار ارائه شده در شکل ۶، نشان دهنده‌ی افزایش اثرات حوزه‌ی نزدیک گسل با افزایش ارتفاع سازه است.

روند افزایشی با سرعت آغاز و تا بالاي سازه ادامه يافته است. دليل افزایش برش حوزه‌ی دور نسبت به حوزه‌ی نزدیک گسل در طبقات فوقاني، رفتار نرم تر سازه با افزایش ارتفاع است. اين رفتار سبب افزایش اثرات حوزه‌ی دور از گسل می‌شود.

با توجه به نمودارهای ارائه شده در شکل‌های ۵ و ۶ ملاحظه می‌شود که میزان برش در هر دو حوزه به هم نزدیک است. در واقع در ۴۰ تا ۷۰ درصد ارتفاع، يك ناچيه‌ی انتقال از حاكمت حوزه‌ی نزدیک به حوزه‌ی دور مشاهده می‌شود، به طوری که تا قبل از اين محدوده، برش طبقات ناشی از حوزه‌ی نزدیک به طور متوسط ۱۸٪ بيشتر از حوزه‌ی دور از گسل است. در حالی که ميانگين برش دو طبقه‌ی آخر به طور متوسط در حوزه‌ی دور ۱۳٪ بيشتر از مقادير متناظر آن در حوزه‌ی نزدیک گسل است.

طبقات شکل ۵، در مدل ۱۵ طبقه توزيع برش طبقه در حوزه‌های نزدیک و دور تقریباً يکسان است. به غير از زلزله‌ی كوهه، برش در طبقه‌ی آخر در حوزه‌ی دور بيشتر از حوزه‌ی نزدیک گسل است. مشابه اين روند در مدل‌های ۳ و ۷ طبقه نيز مشاهده می‌شود. دليل اين امر می‌تواند اثر مودهای بالاتر در طبقات انتهایی باشد. به جز در زلزله‌ی ايمپريال، که در آن پدیده‌ی تشيد رخ داده است، در مابقی زلزله‌ها برش پایه در حوزه‌ی نزدیک گسل بيش از حوزه‌ی دور بوده است. بيشينه‌ی افزایش برش طبقه‌ی حوزه‌ی نزدیک نسبت به حوزه‌ی دور در ۵۰ تا ۷۰ درصد ارتفاع رخ داده است. در ۲۰٪ ابتدايی کاهش جزئی جذب برش در پای سازه و پس از اين ارتفاع به طور ميانگين افزایش در آن مشاهده می‌شود. بيشينه‌ی جذب برش در ارتفاع ۶٪ به بالاي مدل ۱۵ طبقه رخ داده است، که نشان از جذب بيشتر برش پایه نسبت به وزن مؤثر سازه در اين ارتفاع و رفتار شكل پذير سازه دارد.

طبقات شکل ۶، به جز در ۲۰٪ ابتدايی ارتفاع مدل در زلزله‌ی ايمپريال، در بقیه‌ی ارتفاع میزان برش در حوزه‌ی نزدیک مقدار بيشتری را نسبت به حوزه‌ی دور کسب کرده است. در حالی که در مدل‌های ۳ و ۷ طبقه، برش در حوزه‌ی دور بيشتر از حوزه‌ی نزدیک رخ داده است. نمودار ارائه شده در شکل ۶، نشان دهنده‌ی افزایش در بيشتر زلزله‌ها نيز در طبقات فوقاني، برش در حوزه‌ی دور مقدار بيشتری را کسب کرده است، که همان‌طور که پيش‌تر ذكر شده است، می‌تواند به جهت اثر مودهای بالاتر و رفتار نرم تر سازه با افزایش ارتفاع آن در حوزه‌ی دور از گسل باشد.

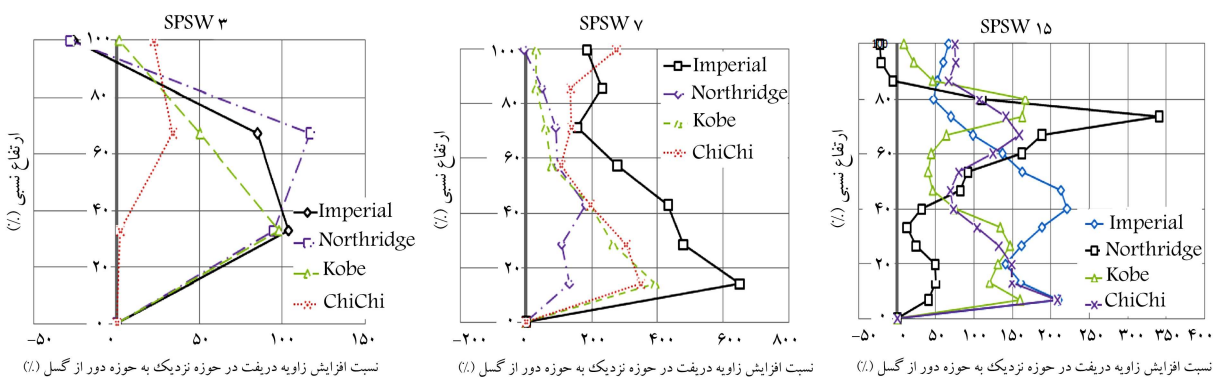


شکل ۷. مقادیر نسبت زاویه تغییرمکان نسبی بیشینه‌ی طبقات در برابر درصد ارتفاع سازه.

مقدار مجاز استاندارد ۲۸۰° کمتر شده است. در زلزله‌های نورث ریچ و کوبه، توزیع زاویه تغییرمکان نسبی در حوزه‌ی نزدیک غیریکنواخت است. این امر به جهت تحریک مودهای بالاتر سازه در زلزله‌های مذکور است. بیشینه‌ی افزایش زاویه تغییرمکان نسبی حوزه‌ی نزدیک در ۲۰٪ ابتدایی ارتفاع سازه رخ داده است. دلیل این افزایش در این ارتفاع همان‌طور که پیش‌تر به آن اشاره شده است، به جهت سختی سیستم‌های خمشی - برشی است. بیشینه‌ی نسبت زاویه تغییرمکان نسبی طبقات حوزه‌ی نزدیک به دور از گسل در زلزله‌ی نورث ریچ به میزان ۳۴۰٪ بوقوع پیوسته است. در زلزله‌های ایپریال و چی‌چی، بیشینه‌ی نسبت زاویه تغییرمکان نسبی در حوزه‌ی نزدیک ۲۱۵٪ بیشتر از حوزه‌ی دور از گسل است، در حالی که این نسبت در زلزله‌ی کوبه به ۱۶۰٪ می‌رسد. اعداد بالا نشان‌دهنده‌ی آن است که در این مدل، نسبت بیشینه‌ی تغییرمکان نسبی در حوزه‌های دور و نزدیک گسل در زلزله‌هایی که در رکورد حوزه‌ی نزدیک آنها اثر تغییرمکان نسبی در ماندگار مشاهده می‌شود، بیشتر از رکوردهای با اثر جهت‌پذیری پیش‌رونده است. چنان‌که در شکل ۷ مشاهده می‌شود، زاویه تغییرمکان نسبی در مدل ۱۵ طبقه، مقادیر کمتری را نسبت به مدل‌های ۳ و ۷ طبقه کسب کرده است. این کاهش

نزدیک در ۳۰ تا ۴۰ درصد ارتفاع سازه رخ داده است و پس از آن کاهش مقادیر تغییرمکان نسبی در حوزه‌ی نزدیک گسل مشاهده می‌شود. در واقع، ماهیت زلزله‌ی حوزه‌ی نزدیک گسل، که همانند ضربه‌ی به پای سازه عمل می‌کنند، در شکل مذکور مشهود است.

براساس مطالعات انجام‌گرفته‌ی چانگ و همکاران^[۵] در سیستم‌های قاب خمشی ممانگیر، که نسبت سختی خمشی به سختی برشی حدود ۲۰ و رفتار خمشی - برشی دارند، بیشینه‌ی تغییرمکان جانبه‌ی طبقات در ترازهای پایینی سازه رخ می‌دهد. مطابق شکل ۷، در تمامی زمین‌لرزه‌ها به جز زلزله‌ی نورث ریچ، زاویه تغییرمکان نسبی طبقات در حوزه‌ی نزدیک در مدل ۱۵ طبقه مقادیر بیشتری از حوزه‌ی دور را دارند. در زلزله‌ی نورث ریچ در ۱۵٪ بالای مدل، زاویه تغییرمکان نسبی در حوزه‌ی دور بیشتر از حوزه‌ی نزدیک شده است. این افزایش می‌تواند به جهت رفتار نرم تر سازه با افزایش ارتفاع و به تبع آن افزایش اثرات حوزه‌ی دور از گسل باشد. زاویه تغییرمکان نسبی در حوزه‌ی نزدیک مطابق مدل‌های ۳ و ۷ طبقه از مقادیر مجاز استاندارد ۲۸۰° بیشتر است. فقط در زلزله‌ی نورث ریچ در بین تمامی مدل‌ها و در زلزله‌های مختلف زاویه تغییرمکان نسبی در حوزه‌ی نزدیک از



شکل ۸. نمودار درصد افزایش زاویه‌ی تغییرمکان نسبی طبقات در حوزه‌ی نزدیک گسل به حوزه‌ی دور از گسل.

زلزله‌ی ایمپریال و چی‌چی به میزان ۱۴۴٪ و ۱۱۶٪ است. در زلزله‌های نورث‌ریج و کوبه‌ی این افزایش به ترتیب ۵۴٪ و ۹۳٪ است.

۱۲. نتیجه‌گیری

در این نوشتار، به بررسی رفتار دینامیکی غیرخطی ۳ مدل دیوار برشی فولادی تقویت شده‌ی ۷، ۱۵ و طبقه تحت ۴ جفت شتاب‌نگاشت دور و نزدیک گسل پرداخته شده و نتایج نشان داده است که:

- در تمامی مدل‌ها، میزان برش پایه در حوزه‌ی نزدیک بیشتر از حوزه‌ی دور از گسل است. این نتیجه تابع ماهیت زلزله‌های حوزه‌ی نزدیک است، که یک یا چند پالس شدید در ابتدای رکورد دارند و انرژی قابل توجهی را در مدت زمان کوتاهی به سازه اعمال می‌کنند.
- میانگین برش طبقات مدل ۳ طبقه در حوزه‌ی دور ۸,۶٪ بیشتر از حوزه‌ی نزدیک است. این نسبت در مدل‌های ۷ و ۱۵ طبقه در حوزه‌ی نزدیک ۴٪ و ۴٪ بیشتر از حوزه‌ی دور از گسل است.
- زاویه‌ی تغییرمکان نسبی طبقات در حوزه‌ی نزدیک به مرتبه بیشتر از تغییرمکان نسبی مجاز استاندارد ۲۸۰° زلزله‌ی ایران است. این بدان معناست که ضوابط استاندارد ۲۸۰° پاسخ‌گوی نیازهای این سیستم در حوزه‌ی نزدیک گسل نیست.
- زلزله‌های با اثر جهت‌پذیری پیش‌روندۀ تغییرمکان‌های نسبی به مرتبه بیشتری نسبت به رکوردهای با اثر تغییرمکان‌های ماندگار در محدوده دوره‌ی تناوب سازه‌های طرح شده ایجاد می‌کنند.
- در سیستم‌های با رفتار خمشی - برشی، بیشینه‌ی تغییرمکان‌های نسبی سازه با توجه به نسبت سختی خمشی به برشی آنها به ترازهای پایین سازه منتقل می‌شود. به طور میانگین زاویه‌ی تغییرمکان نسبی طبقات در مدل‌های ۷، ۱۵ و ۱۵ طبقه در حوزه‌ی نزدیک به ترتیب ۴۶٪، ۱۹۲٪ و ۱۰۲٪ بیشتر از حوزه‌ی دور از گسل است.
- با افزایش ارتفاع در مدل‌های مختلف، بیشینه زاویه‌ی تغییرمکان نسبی در حوزه‌ی نزدیک به کدهای ارتفاعی پایین تر منتقل می‌شود. به طور میانگین بیشینه زاویه‌ی تغییرمکان نسبی حوزه‌ی نزدیک در مدل ۳ طبقه در ۴۰ تا ۶۰ درصد ارتفاع به موقع می‌پیوندد. در مدل ۷ طبقه در ۲۰ تا ۴۰ درصد ارتفاع و در مدل ۱۵ طبقه در ۲۰٪ ارتفاع، بیشینه زاویه‌ی تغییرمکان نسبی حوزه‌ی نزدیک رخ می‌دهد.

به جهت عملکرد مناسب ساخت‌کننده‌ها در کنترل تغییرمکان‌ها در عین رفتار نرم تر سازه با این ارتفاع نسبت به سازه‌های با ارتفاع کوتاه‌تر است.

طبقه شکل ۸، در مدل ۳ طبقه تا ۴۰٪ ارتفاع به غیر از زلزله‌ی چی‌چی نسبت زاویه‌ی تغییرمکان نسبی تقریباً یکسان است. نسبت زاویه‌ی تغییرمکان نسبی در تمامی زلزله‌ها در حوزه‌ی نزدیک بیشتر از حوزه‌ی دور از گسل است. در حالت کلی در بخش فوقانی سازه افزایش اثرات حوزه‌ی دور نسبت به ارتفاعات پایین سازه مشاهده می‌شود. به طور میانگین میزان زاویه‌ی تغییرمکان نسبی در حوزه‌ی نزدیک در زلزله‌ی ایمپریال ۶۲,۸۶٪ بیش از زاویه‌ی دریفت در حوزه‌ی دور از گسل است. این نسبت در زلزله‌های نورث‌ریج، کوبه، و چی‌چی به ترتیب برابر ۵۷٪، ۴۶٪ و ۴۷٪ بیشتر از زاویه‌ی تغییرمکان نسبی در نواحی میانی ارتفاع سازه رخ داده است. تقریباً افزایش زاویه‌ی تغییرمکان نسبی در نواحی میانی حوزه‌ی نزدیک با افزایش همراه است تا نیمه‌ی ارتفاع سازه، زاویه‌ی تغییرمکان نسبی حوزه‌ی نزدیک با افزایش اثر حوزه‌ی دور از گسل می‌شود.

در مدل ۷ طبقه، بیشینه‌ی نسبت زاویه‌ی تغییرمکان نسبی حوزه‌ی نزدیک به حوزه‌ی دور در زلزله‌های ایمپریال و کوبه به میزان ۶۵٪ و ۳۹٪ رخ داده است. بیشینه‌ی نسبت افزایش زاویه‌ی تغییرمکان نسبی حوزه‌ی نزدیک نسبت به حوزه‌ی دور از گسل در زلزله‌های نورث‌ریج و چی‌چی به ترتیب ۱۸۱٪ و ۳۴٪ است. به طور متوسط میانگین زاویه‌ی تغییرمکان نسبی طبقات در حوزه‌ی نزدیک گسل در زلزله‌ی ایمپریال به میزان ۳۵٪ بیشتر از حوزه‌ی دور از گسل است. این افزایش زیاد به جهت اثر گام‌های بزرگ در تاریخچه زمان تغییرمکان رکورد حوزه‌ی نزدیک زلزله‌های ایمپریال و چی‌چی است. همان‌طور که مشاهده می‌شود، رکوردهای با اثر جهت‌پذیری پیش‌روندۀ نسبت به رکوردهای با اثر تغییرمکان‌های ماندگار، پاسخ‌های به مرتبه بیشتری در سازه‌های با این ارتفاع ایجاد می‌کنند.

اعداد ذکر شده نشان‌گر آن است که نسبت زاویه‌ی تغییرمکان نسبی طبقات بین حوزه‌های نزدیک و دور از گسل با افزایش ارتفاع بیشتر می‌شود. در واقع اثر زلزله‌های حوزه‌ی نزدیک در سازه‌ها با بلندترشدن ارتفاع از ۳ به ۷ طبقه افزایش می‌یابد. همان‌طور که در شکل ۸ مشاهده می‌شود، بی‌نظمی بیشتری در توزیع زاویه‌ی تغییرمکان نسبی حوزه‌ی نزدیک به حوزه‌ی دور از گسل در مدل ۱۵ طبقه رخ داده است. این غیریکنواختی به جهت اثر بیشتر حوزه‌ی نزدیک در سازه‌های بلند است. میانگین نسبت افزایش زاویه‌ی تغییرمکان نسبی حوزه‌ی نزدیک به حوزه‌ی دور در

پانوشت‌ها

1. steel plate shear walls (SPSW)
2. forward directivity

منابع (References)

1. Kalkan, E. and Kunnath, S.K. "Effects of fling step and forward directivity on seismic response of buildings", *Journal of Earthquake Spectra*, **22**(2), pp. 367-390 (May 2006).
2. Topkaya, C. and Kurban, C.O. "Natural periods of steel plate shear wall systems", *J. Constr. Steel Res.*, **65**(3), pp. 542-551 (2009).
3. Sabouri, S. and Asad Sajadi, R. "Experimental investigation of force factor and energy absorption ductile steel plate shear walls with stiffeners and without stiffener", *National Conference on Steel & Structures* (2011).
4. Gerami, M. and Abdollahzadeh, D. "Estimation of forward directivity effect on design spectra in near field of fault", *Journal of Basic and Applied Scientific Research*, **2**(9), pp. 8670-8686 (2012).
5. Yang, D., Pan, J. and Li, G. "Inter story drift ratio of building structures subjected to near-fault ground motions based on generalized drift spectral analysis", *Soil Dynamics and Earthquake Engineering*, **30**(11), pp. 1182-1197 (2010).
6. 6th Topic the National Building Provisions, (Exerted Load on Building), 4th Edition (2006).
7. *Earthquake Resistant Design of Buildings Regulations*, 2800, 3ed edition, Building and Housing Research Center.
8. 10th Topic the National Building Provisions, (Design and Construction of Steel Building), 3rd Edition (2008).
9. Canadian Standard Association, CAN/CSA-S16-01, Limit States Design of Steel Structures, (Ontario, Canada): CSA (2001).
10. American Institute of Steel Construction (AISC), *Seismic Provisions for Structural Steel Building*, Chicago (IL, USA), AISC (2008).